

硅光波导的束传播法设计及制备

潘 姬 赵鸿麟 杨恩泽

(天津大学电子工程系, 天津 300072)

摘要 报道用束传播法(propagating Beam Method)模拟设计、指导硅大断面单模脊形光波导的制备工艺。应用傅里叶变换法计算了硅光波导中导模的传播常数。对实际研制成功的 SIMOX 及 Si/ Ge_xSi_{1-x} /Si 单模脊形光波导, 比较了其性能差异并给予理论解释。

关键词 硅光波导, 束传播法(PBM)。

1 引言

80 年代中期, 理论和实验均证实硅单晶对波长 $\lambda = 1.3 \sim 1.6 \mu m$ 的光波是透明的, 且其折射率可用载流子浓度调节^[1]。人们对硅光集成产生巨大兴趣, 8 年来, 制备硅单模脊形光波导的技术已数次突破^[2~4]。近二年来研制成功的 Si/ Ge_xSi_{1-x} /Si 单模脊形光波导, 样品已能满足硅光集成的要求^[4]。今后的主要工作是理论上的进一步完善和工艺上的进一步稳定。

设计硅脊形光波导, 原则上可以依据单模理论^[5]。但设计者设计的时候无法看到波束在光波导中的传播情况。为了稳妥, 一般设计多种几何尺寸及工艺参数, 以期最后能得到单模样品。实际结果往往也得到一些多模样品。束传播法^[6]的显著优点之一是它能具体显示光束在波导中的传播过程。改变光波导的几何尺寸及工艺参数, 它能显示光束传播时维持单模或分解为多模。此外, 束传播法结合离散傅里叶变换或快速傅里叶变换, 能比较快速地求出单模或多模光波导的传播常数。

本文研制 n/n^+ 、SIMOX 及 Si/ Ge_xSi_{1-x} /Si 三种大断面单模脊形光波导时同时研究束传播法的。经验证明, 应用束传播法于硅光波导的制备, 能加深对光波导理论的理解, 能更有把握地制备合乎要求的硅光波导。

2 大断面脊形单模光波导的模拟设计。

首先介绍单模条件的束传播法模拟设计。

在 Si 光集成中, 对脊形光波导的要求之一必须是大断面, 即脊高 b 及脊宽 a 要等于 10 μm 左右如图 1 所示。目的是在输入输出端和单模光纤间提高耦合效率。在大断面的前提下, 要光波导仅通基模, 原则上可依据单模条件^[5]:

$$r \leq \frac{1}{2};, \quad \frac{a}{b} \leq 0.3 + \frac{r}{\sqrt{1 - r^2}} \quad (1)$$

(1)式未给出 a/b 的下限, 实际上其值太小时光波导是截止的。再者, 依(1)式设计光波导不能得到光波在其中传播的图像。

束传播法是 Helmholtz 方程

$$\frac{\partial^2 E}{\partial x^2} + \frac{\partial^2 E}{\partial y^2} + \frac{\partial^2 E}{\partial z^2} + k_0^2 n^2(x, y, z) E = 0 \quad (2)$$

描述的光波在光波导中传播时的近似数值解。式中 $n(x, y, z)$ 是折射率分布。本题假设沿传播方向 z 折射率无变化, $n(x, y)$ 如图 2 所示。垂直轴标出 $n(x, y)$ 数值。复盖层是高阻硅, 其折射率为 3.5。脊形区由 $\text{Ge}_x\text{Si}_{1-x}$ 组成, 其折射率略高于 3.5。

束传播法先假设光波在均匀介质 n_0 (一般取光波导复盖层折射率) 中传播。前进 Δz 后再依据 $E(x, y, z)$ 所处位置的实际 $n(x, y, z)$ 给予校正, 方程(2) 原是双边值问题, 束传播法将其简化为单边值或起始条件问题。起始条件即输入光波 $E_0(x, y, z_0)$ 是可以设置的。

$E(x, y, z)$ 沿 z 方向逐步推进的运算法有多种^[6]。本文采用二维快速傅里叶变换 - 束传播法。脊形光波导可用有效折射率法简化为计算一维平板波导 $E(x, z)$ 。离散的 $E_0(x, z_0)$ 输入光波导后, 沿横向展成有限长的离散傅里叶级数。利用主值区间中离散傅里叶级数和离散傅里叶变换的一致性及正反离散傅里叶变换, 能求得每前进 Δz 后的 $E(x, z)$ 值。绘出光波传输过程的清晰图像。

图 3 的输入光波是波长 $\lambda = 1.3 \mu\text{m}$ 的高斯光束 $E(x, o) \sim \exp(-x/3.7 \mu\text{m})^2$ 在 GeSi 光波导中的传播情况。图 3 中波导层折射率取 3.50172, 复盖层取 3.50。图 3(a) 的波导宽度为 $8 \mu\text{m}$ 。光束是以纸面射向读者的, 可以看出, 这种条件下光束在波导中维持单模形式。图 3(b) 是宽度变为 $12 \mu\text{m}$ 时光波在其中的传播情况。这时单模的输入光波在光波导中传播时分解为多模。

用这种束传播法设计光波导, 有结果准确、迅速且直观的优点。

对快速傅里叶变换-束传播法的计算式稍做变动, 可以计算光波导中导模的传播常数^[7]。

图 4 是一个计算实例的结果。横轴是传播常数 β 值, 纵轴是归一化的 $P(\beta)$ 值, 五个尖峰表明此光波导传播五阶模, 其 β 值均已在横轴上标出。为了使结果具有典型性并便于和准确结果对比, 本实例计算的是厚度为 $12 \mu\text{m}$ 的平板 GeSi 光波导。对 z 轴求 $P(z)$ 时电场值取 $x = 3$ 即 $E(3, z)$ 。表 1 是上述束传播法结果和分析法结果的对比。分析法是 TE 模的特征方程经迭代法算得的。

表 1 表明束传播法的结果还有一定的误差, 对有限长的窗口, β 的取样点不可能和实际 β 重合, 此外, 计算 $E(x, z)$ 时, ΔE 及 Δx 的取值也会引出误差。如果相应增加计算量。原则上可以再提高精度。

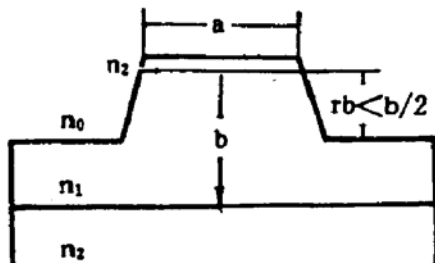


Fig. 1 Scheme of rib waveguide

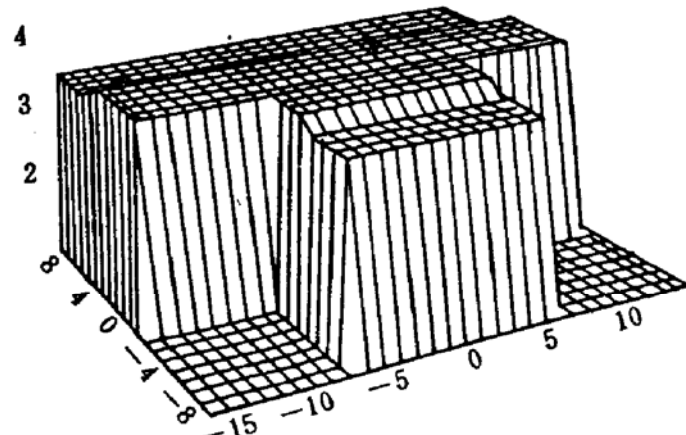


Fig. 2 The index $n(x, y)$ in rib waveguide. (The units of x and y axes are μm)

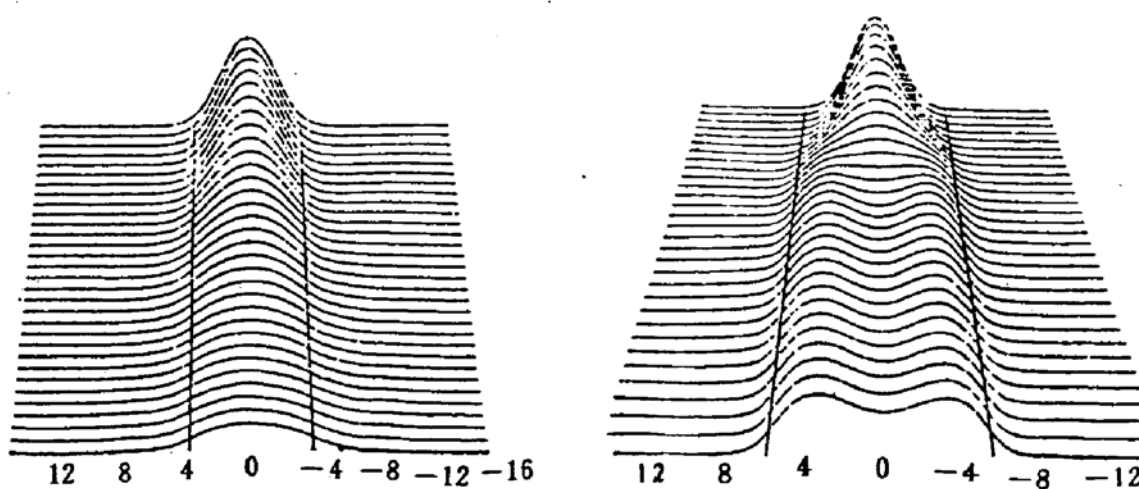


Fig. 3 The propagation of $1.3 \mu\text{m}$ light in Si optical waveguides (a) single-mode waveguide; (b) multi-mode waveguide

Table 1 The results of propagation constant β
by PBM and analytical method

	β_0	β_1	β_2	β_3	β_4
PBM	169703.1	169539.7	169401.5	169288.4	169213.0
analytical method	169713.1	169585.8	169476.7	169341.4	169193.1

3 实际 Si 光波导样品测量结果及其比较

全硅光集成的发展过程中, 制备光波导的初期技术是在低阻 Si 单晶片上外延生长高阻波导层, 即 n/n^+ 或 p/p^+ 型硅光波导。这种光波导因高浓度载流子对光的吸收而使传播损耗 $>15 \text{ dB/cm}$ 。SIMOX 硅光波导的研制成功是一重大突破, 它大幅度改善了 n/n^+ 型的缺点, 但是仍存在数值孔径过大的缺点, 现在研制成功的 GeSi/Si 合金材料光波导, 又将硅光波导制备技术提高到一个新水平。它的样品性能已能进入实用水平。

图 5 是 $1.3 \mu\text{m}$ 的激光经单模光纤输出(它就是光波导的输入光波)后分别再经过 SIMOX 光波导和 GeSi/Si 光波导的输出光场分布。图 5(a)是单模光纤的输出, 光场分布呈非常陡锐形状。因为显示器的 Y 轴已经饱和。实际高度应比照片还高, 图 5(b)和图 5(c)说明二种光波导均输出单模光波。

在研制上述大断面脊形单模 SIMOX 光波导及 GeSi 光波导时, 设计方法是将束传播法和单模理论结合起来进行的。以验证证明这样做能显著提高制备的把握性, 这些光波导的制备工艺及测量方法等, 过去已经报导^[2,4]。

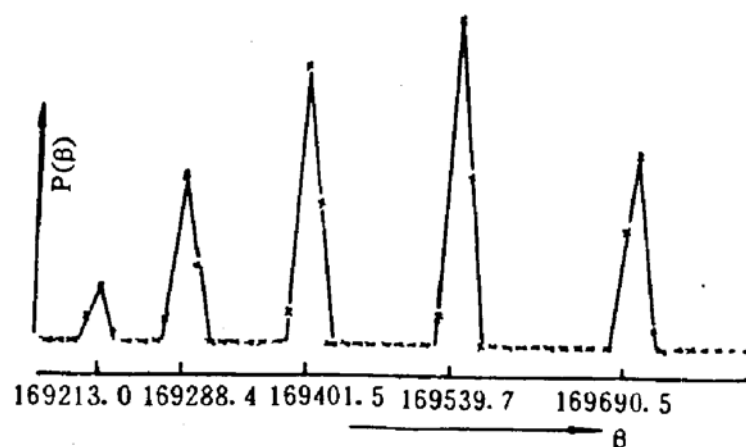


Fig. 4 $P(\beta)$ are peaked up at eigenvalues β_i

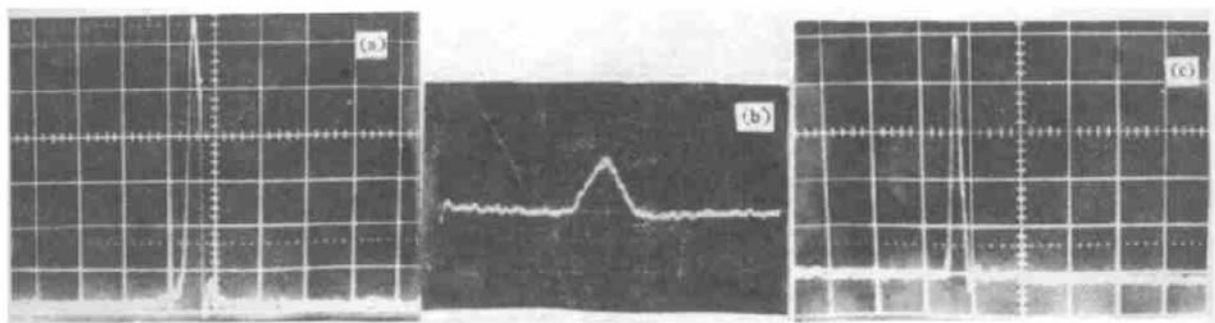


Fig. 5 The light field distribution of single-mode fibre, SIMOX and GeSi/Si waveguides.

- (a) single-mode optical fibre.
- (b) single-mode SIMOX waveguide ($\beta_0 = 169098.7$)
- (c) single-mode GeSi/Si waveguide ($\beta_0 = 169670.5$)

表2是单模光纤、SIMOX及GeSi光波导部分性能比较。从图5或表2可以看出，新近研制的GeSi光波导样品，其性能几乎全面优于SIMOX光波导，而且工艺难度及成本都较低。这是因为。

1) SIMOX 硅光波导的下复盖层是 SiO_2 ，它和波导层间的折射率差很大，于是其数值孔径偏大。这是SIMOX光波导输出光波的光场较宽的原因。

2) SIMOX 硅光波导的埋层 SiO_2 的厚度一般只有 300 nm 左右。要完全限制 1.3 μm 光在波导层中传播，这个厚度是不够的。何况一般不容易形成致密高质量的 SiO_2 埋层。由此可分析它的传播损耗大于GeSi光波导。

Table 2 Performances comparison among single-mode
fibre SIMOX and GeSi waveguides

	light field distribution	propagation losses ^[2,4]	size of cross section	NA ^[4]	processes sophistication	cost
single-mode fibre	very sharp	$\sim 0.1 \text{ dB/km}$	core diameter $\sim 10 \mu\text{m}$	~ 0.2		
SIMOX waveguide	wide & low	2 dB/cm	rib height 6~8 μm rib width 8~12 μm	~ 3.0	high	high
GeSi waveguide	sharp	0.7 dB/cm	same as SIMOX	0.1~0.2	common	common

4 结 论

本文介绍了研制大断面脊形单模硅光波导时，用束传播法进行设计的方法及优点。束传播法能准确、迅速并形象地显示光波在光波导中的传播过程。束传播法计算光波导中导模的传播常数是比较方便的。当计算多模光波导的传播常数时，它更显示出优越性。本文也介绍了用束传播法结合单模理论设计并制备成功的二种SIMOX及GeSi/Si光波导。样品的实测性能表明，GeSi/Si光波导优于SIMOX光波导。并从理论及工艺起因方面解释了这些结果。

参 考 文 献

- [1] R. A. Soref, J. P. Lorenzo, All-silicon active and passive guided-wave components for $\lambda = 1.3$ and $1.6 \mu\text{m}$. *IEEE J. Quantun. Electron.*, 1986, 22(6) : 873~879
- [2] 潘姬, 赵鸿麟, 杨恩泽等, 硅 SIMOX 单模脊形光波导研制. *半导体学报*, 1994, 15(2) : 104~108
- [3] R. A. Soref, F. Namavar, J. P. Lorenzo, Optical waveguiding in a single-crystal layer of germanium silicon grown on silicon. *Opt. Lett.*, 1990, 15(5) : 270~272
- [4] 潘姬, 赵鸿麟, 杨恩泽, 硅衬底上锗硅合金光波导的研制. *光学学报*, 1994, 14(6) : 1~5
- [5] R. A. Soref et al., Large single-mode rib waveguides in GeSi-Si and Si-on-SiO₂. *IEEE J. Quantun. Electron.*, 1991, 27(8) : 1971~1974
- [6] Working group 1, Cost 216, Comparison of different modelling techniques for longitudinally invariant integrated optical waveguides. *IEEE Proceedings, Pt.J.*, 1989, 136(5) : 273~280
- [7] M. D. Feit, J. A. Fleck, Calculation of dispersion in graded index multimode fibres by a propagating-beam method. *Appl. Opt.*, 1979, 18(16) : 2843~2851

The PBM Design and Fabrication for Silicon Waveguides

Pan Ji Zhao Honglin Yang Enze

(Electronic Engineering Department of Tianjin University, Tianjin 300072)

(Received 9 March 1994; revised 21 May 1994)

Abstract This paper reports the use of propagating beam method (BPM) to simulate and design the large cross-section single mode rib waveguides. The Fourier transformation is used to calculate the propagating constants of the Si waveguides. For the practical SIMOX and Si/Ge_xSi_{1-x}/Si single-mode rib waveguides, Comparison of the performance differences and theoretical explanation have been given.

Key words Si optical waveguides, propagating beam method.